

## Моделирование движения капли вязкой жидкости в канале с сужением при наличии на поверхности капли нерастяжимой мембраны

Владимир Фенченко

К. ф.-м. н., с. н. с., Физико-технический институт низких температур им. Б. И. Веркина НАН Украины, пр. Ленина, 47, Харьков, 61103, e-mail: vfenchenko@ukr.net

*Разработана численная модель динамики движения капли вязкой жидкости, ограниченной упругой, непроницаемой и нерастяжимой мембраной в потоке вязкой несжимаемой жидкости. Модель базируется на предположении, что мембрана имеет конечную толщину, а изменение свойств среды происходит внутри мембраны, т. е. на представлении двухфазной системы однофазной средой с резко меняющимися характеристиками и применении «сквозного счета» с использованием схемы расщепления по физическим факторам. Показано, что наличие нерастяжимой мембраны на поверхности капли приводит к качественным изменениям в характере ее деформации при прохождении сужения.*

**Ключевые слова:** везикула, мембрана, капля, численное моделирование, вязкая жидкость, несмешивающаяся среда, уравнения Навье-Стокса.

**Введение.** Многие исследователи проявляют интерес к моделированию течений биологических жидкостей, в частности, крови, которая [1] представляет собой плазму с взвешенными в ней форменными элементами: лейкоцитами, тромбоцитами и эритроцитами, на которые приходится основной объем форменных элементов. Размер эритроцитов велик по сравнению с молекулами плазмы и можно было бы ожидать [2], что кровь ведет себя как ньютоновская жидкость с вязкостью, большей вязкости плазмы. Однако это не так. В крупных сосудах неньютоновость течения наблюдается вблизи стенок, а в более мелких сосудах область неньютоновости охватывает уже почти все поперечное сечение. Такое поведение крови вызвано изменением концентрации эритроцитов по сечению сосуда [3] и динамикой изменения формы эритроцитов в зависимости от градиента скорости (скорости сдвига) [1].

Моделированию движения эритроцитов в крупных сосудах посвящено значительное число работ [см., например, 3-7], в которых получены интересные результаты, касающиеся, однако, движения эритроцитов в равномерном потоке плазмы вдали от стенок сосудов. В частности, обнаружены различные типы движения: параллельный перенос, покачивание, кувыркание и изменение формы эритроцита в зависимости от параметров течения и свойств мембраны эритроцита. Между тем, в сосудах микроциркуляторного русла кровь движется существенно неравномерно, в том числе и вследствие активного расширения и сужения стенок самих капилляров [8], а размеры эритроцитов соизмеримы с диаметрами

капилляров. Поэтому исследование движения эритроцитов в неравномерном потоке и их взаимодействие со стенками сосудов и между собой представляет интересную и важную задачу.

Моделирование движений эритроцитов приводит к необходимости решения системы уравнений Навье-Стокса для окружающей среды и внутриклеточной жидкости с учетом граничных условий на поверхности раздела и одновременным определением положения этой поверхности. Близкими являются задачи моделирования динамики двухфазных систем с несмешивающимися фазами, методам решения которых посвящено большое число публикаций. Значительная часть разработанных численных алгоритмов основана на процедуре явного выделения межфазных границ, когда расчетная сетка в процессе решения задачи постоянно перестраивается в соответствии с изменениями положения и формы поверхности раздела. Более удобным оказывается применение численных методов, в которых отсутствует необходимость явного выделения границы раздела путем перестроения расчетной сетки, то есть методов сквозного счета. При этом полагается, что движение каждой фазы подчиняется одним и тем же уравнениям гидродинамики, но параметры среды (давление, плотность, вязкость) претерпевают разрыв на границе раздела фаз [см. 9-11 и др.].

Главное отличие рассматриваемой задачи от известных задач моделирования динамики капель вязкой несжимаемой жидкости в несмешивающейся среде [12, 13] в наличии упругой мембраны на поверхности эритроцита, отделяющей внутриклеточную жидкость от плазмы крови [14]. Мембрана пропускает низкомолекулярные вещества, поэтому объем внутриклеточной жидкости при изменении осмотического давления внешней среды может меняться. При снижении осмотического давления плазмы вода будет поступать в клетку, что при достижении предела растяжимости приведет к разрыву ее оболочки — осмотического гемолиза. Напротив, повышение осмотического давления внешней среды вызывает выход воды из клетки, потерю упругости, сморщивание. Это также может привести к разрушению клетки макрофагами тканей. Однако эти процессы достаточно медленны и поэтому изменением как объема, так и поверхности эритроцита в процессе его движения можно пренебречь.

Таким образом, хорошей моделью эритроцита является так называемая везикула — капля вязкой жидкости, помещенная в другую вязкую жидкость, ограниченная непроницаемой и нерастяжимой мембраной. Цель этого исследования состоит в разработке численной модели динамики движения такой везикулы в потоке вязкой несжимаемой жидкости в канале с препятствиями, в частности, при наличии сужений русла.

## 1. Уравнения, граничные и начальные условия

В двумерном случае, для которого расчетные соотношения существенно упрощаются и, в тоже время, все основные особенности движения сохраняются,

локальная энергия изгиба мембраны определяется формулой [3]:  $E_c = \frac{\kappa}{2} H^2 ds$ ,

а сила, вызванная изгибом, направлена по нормали и равна  $\vec{F}_c = \kappa \left( \frac{\partial^2 H}{\partial s^2} + \frac{H^3}{2} \right) \vec{n}$ ,

где  $\kappa$  — изгибная жесткость мембраны;  $\vec{n}$  — внешняя нормаль к ее контуру, а  $H$  — кривизна контура.

Так как мембрана может считаться практически нерастяжимой, то к энергии следует добавить энергию, ассоциированную с локальным множителем Лагранжа [3]  $E_l = \psi ds$ . Соответствующая дополнительная сила [3, см. также 15]

$\vec{F}_l = - \left( \psi H \vec{n} + \frac{\partial \psi}{\partial s} \vec{t} \right)$ , где  $\psi$  — локальный множитель Лагранжа, а  $\vec{t}$  — вектор касательной к контуру мембраны.

Что касается взаимодействия клеток со стенками сосудов, то в условиях нормы адгезия их к эндотелию относительно невелика — как известно, при ее увеличении значительно повышается риск развития тромбозов и может не учитываться [4, 6, 16].

Следуя работе [17], введем в рассмотрение непрерывную вспомогательную функцию уровня  $\Phi$ , которая является расстоянием до мембраны со знаком (рис. 1). Тогда [см. аналогичный пример для сил поверхностного натяжения 18] силы, действующие на поверхности мембраны, можно записать в виде:

$$\vec{F} = \left\{ \left[ \kappa \left( \frac{\partial^2 H}{\partial s^2} + \frac{H^3}{2} \right) - \psi H \right] \vec{n} + \frac{\partial \psi}{\partial s} \vec{t} \right\} \delta(\Phi), \quad (1)$$

где  $\delta$  — дельта-функция;  $\vec{n} = (\nabla \Phi / |\nabla \Phi|)|_{\Phi=0}$  — внешняя нормаль;  $H = (\nabla, \nabla \Phi / |\nabla \Phi|)|_{\Phi=0}$  — кривизна;  $\nabla$  — оператор набла, компоненты которого являются частными производными по координатам;  $(, )$  — обозначает скалярное произведение векторов, а  $|\quad|$  — модуль (длина) вектора. Иная форма записи этого выражения

$$\vec{F} = \left\{ \left[ \kappa (\Delta^\perp H + H^3/2) - \psi H \right] \vec{n} + \nabla^\perp \psi \right\} \delta(\Phi), \quad (1')$$

где  $\Delta^\perp$  — оператор Бельтрами-Лапласса ( $\Delta^\perp = \partial_i^\perp \partial_i^\perp$ ,  $\partial_i^\perp = \delta_{i,k}^\perp \partial_k$ ,  $\delta_{i,k}^\perp = \delta_{i,k} - n_i n_k$  — проекционный оператор на мембрану),  $\nabla^\perp = (\partial_i^\perp)$ ; по повторяющимся индексам проводится, как обычно, суммирование.

В трехмерном пространстве выражение для силы, действующей на поверхности мембраны, имеет аналогичный вид [19-23]

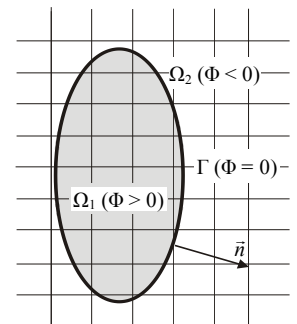


Рис. 1. Расчетная область

$$\vec{F} = \left\langle \left\{ \kappa \left[ \Delta^\perp H + H \left( \frac{H^2}{2} - 2K \right) \right] - \psi H \right\} \vec{n} + \nabla^\perp \psi \right\rangle \delta(\Phi), \quad (1^2)$$

где  $H = H_1 + H_2$  — средняя кривизна;  $K = H_1 \cdot H_2$  — гауссова кривизна мембраны,  $H_1, H_2$  — главные кривизны мембраны.

Запишем уравнения движения Навье-Стокса и уравнение неразрывности для внешней среды в сосуде и внутриклеточной жидкости:

$$\begin{cases} \frac{\partial \vec{U}}{\partial t} + (\vec{U}, \nabla) \vec{U} + \nu \Delta \vec{U} = \frac{1}{\rho} (-\nabla P + \vec{F}) + \vec{g}, \\ (\nabla, \vec{U}) = 0, \end{cases} \quad (2)$$

где  $\rho$  — плотность;  $P$  — давление;  $\vec{U}$  — вектор скорости;  $t$  — время;  $\nu$  — кинематическая вязкость;  $\vec{g}$  — ускорение свободного падения. В общем случае свойства внешней среды и внутриклеточной жидкости различны, тогда плотность и вязкость следует вычислять по формулам  $\rho = \rho_1 + (\rho_2 - \rho_1)\chi(\Phi)$ ,  $\nu = \nu_1 + (\nu_2 - \nu_1)\chi(\Phi)$ , где индекс «1» относится к внешней среде, индекс «2»

к внутриклеточной жидкости, а  $\chi(\Phi) = \begin{cases} 1, & \Phi > 0 \\ 0, & \Phi < 0 \end{cases}$  — функция Хэвисайда.

В выражение (1) для силы  $\vec{F}$  входит неизвестный локальный множитель Лагранжа  $\psi$ , поэтому система уравнений (2) должна быть дополнена условием на мембране для его определения:

$$\left( \vec{t}, \frac{\partial \vec{U}}{\partial s} \right) = (\vec{U}, \vec{n}) + \frac{\partial (\vec{U}, \vec{t})}{\partial s} = 0. \quad (3)$$

Так как на поверхности мембраны выполнены кинематические условия равенства скоростей жидкости с разных сторон мембраны, то скорость  $\vec{U}$  является непрерывной функцией. Тогда уравнение переноса введенной функции уровня  $\Phi$ , определяющей динамику мембраны, можно записать в виде:

$$\frac{\partial \Phi}{\partial t} + (\vec{U}, \nabla \Phi) = 0. \quad (4)$$

Система уравнений (2), (4) должна быть дополнена начальными и граничными условиями. На данном этапе будем пренебрегать упругостью стенок сосуда и колебаниями давления и на входе в расчетный участок сосуда используем условия невозмущенного потока; на выходе ставим условие свободного вытекания, на стенках — условия не протекания и прилипания. В начальный момент задаем распределение скорости, удовлетворяющее уравнению неразрывности и граничным условиям, а также начальное положение мембраны.

## 2. Численная реализация

В качестве масштабов при обезразмеривании удобно принять характерный диаметр сосуда  $L_0$ , скорость потока  $U_0$  и время  $L_0/U_0$ . Тогда система (2) приобретает вид:

$$\begin{cases} \frac{\partial \bar{U}}{\partial t} + (\bar{U}, \nabla) \bar{U} + \frac{1}{\text{Re}} \frac{1 - (1 - \mu_2/\mu_1)\chi(\Phi)}{1 - (1 - \rho_2/\rho_1)\chi(\Phi)} \Delta \bar{U} = \frac{-\nabla P + \bar{F}}{1 - (1 - \rho_2/\rho_1)\chi(\Phi)} + \frac{1}{\text{Fr}} \bar{g}, \\ (\nabla, \bar{U}) = 0, \end{cases} \quad (5)$$

где

$$\bar{F} = \left\{ \left[ \frac{1}{\text{Ch}} \left( \frac{\partial^2 H}{\partial s^2} + \frac{H^3}{2} \right) - \psi H \right] \bar{n} + \frac{\partial \psi}{\partial s} \bar{t} \right\} \delta(\Phi), \quad (6)$$

давление отнесено к  $\rho_1 U_0^2$ ;  $\text{Re} = U_0 L_0 / \nu_1$  — параметр Рейнольдса (характеризующий отношение нелинейного и диссипативного членов в уравнениях Навье-Стокса);  $\text{Ch} = \rho_1 U_0^2 / \kappa$  — параметр Коши (выражающий отношение сил инерции жидкости к упругим силам на мембране);  $\text{Fr} = U_0^2 / (L_0 g)$  — число Фруда (характеризующее соотношение между силой инерции и внешней силой, в поле которой происходит движение).

Заметим, что в близких задачах о моделировании движения капли вязкой жидкости в несмешивающейся среде выражение для силы значительно упрощается и имеет вид [24]:  $\bar{F} = \frac{H}{\text{We}} \delta(\Phi) \bar{n}$ , где  $\sigma$  — коэффициент поверхностного

натяжения, а  $\text{We} = \rho_1 L_0 U_0^2 / \sigma$  — параметр Вебера (определяющий отношение сил инерции жидкости к силам поверхностного натяжения). Существенно, что это выражение не содержит неизвестный локальный множитель Лагранжа  $\psi$  и, следовательно, уравнение (3) для его определения излишне.

В настоящее время для численного решения уравнений Навье-Стокса для несжимаемой жидкости существуют и используются несколько десятков разновидностей разностных схем. Большая часть из них разработана применительно к системе уравнений, записанных в переменных «вихрь – функция тока» или «скорость – вихрь скорости», однако использование преобразованных переменных не позволяет обобщить эти методы на пространственные потоки.

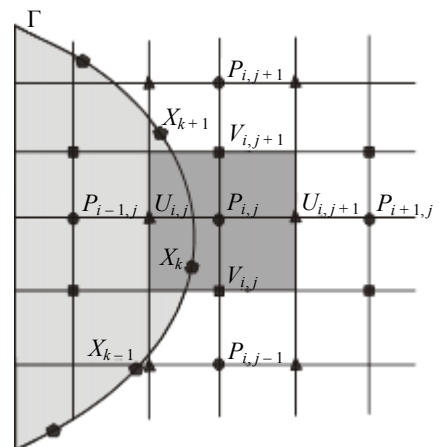


Рис. 2. Нумерация точек для MAC-сетки

Решение же уравнений Навье-Стокса в физических переменных «скорость – давление» связано с трудностями расчета поля давления, согласованного с полем скоростей, так как уравнение неразрывности для несжимаемой жидкости содержит только составляющие скорости и не обеспечивает прямую связь с давлением (для сжимаемой жидкости такая связь осуществляется через ее плотность). Но такой подход, тем не менее, предпочтителен, так как он позволяет решать по единому алгоритму как двухмерные, так и трехмерные задачи.

Для решения системы уравнений движения (2) применим схему расщепления по физическим факторам, близкую к описанной в работе [25] для численного решения классических уравнений Навье-Стокса. Для дискретизации уравнений движения используем метод конечных разностей на прямоугольной сетке с шахматным расположением узлов (сетка MAC-типа рис. 2); давление вычисляем в центрах ячеек, а составляющие скорости на их гранях. При этом строим разностную сетку так, чтобы граница расчетной области проходила через точки, в которых вычисляется нормальная составляющая скорости.

На первом этапе предполагаем, что перенос количества движения осуществляется за счет конвекции и диффузии, и определяем промежуточное поле скоростей  $\vec{U}$  :

$$\begin{aligned} \frac{\vec{U}^{(\sim)} - \vec{U}^{(n)}}{\Delta t} + (\vec{U}^{(n)}, \nabla) \vec{U}^{(n)} - \frac{1}{\text{Re}} \frac{1 - (1 - \mu_2/\mu_1)\chi_\varepsilon(\Phi^{(n)})}{1 - (1 - \rho_2/\rho_1)\chi_\varepsilon(\Phi^{(n)})} \Delta \vec{U}^{(n)} = \\ = \frac{\left[ \frac{1}{\text{Ch}} \left( \frac{\partial^2 H^{(n)}}{\partial s^2} + \frac{H^{(n)3}}{2} \right) - \psi^{(n)} H^{(n)} \right] \vec{n}^{(n)} + \frac{\partial \psi^{(n)}}{\partial s} \vec{t}^{(n)}}{1 - (1 - \rho_2/\rho_1)\chi_\varepsilon(\Phi^{(n)})} - \delta_\varepsilon(\Phi^{(n)}) + \frac{1}{\text{Fr}} \vec{g}. \end{aligned} \quad (7)$$

Полученное таким образом поле скорости  $\vec{U}^{(\sim)}$ , вообще говоря, не удовлетворяет условию несжимаемости, однако даёт правильные вихревые характеристики.

Далее определяем давление, решая уравнение Пуассона, которое вытекает из уравнения движения с учетом соленоидальности вектора скорости  $\vec{U}^{(n+1)}$  :

$$\nabla \left[ \frac{\nabla P^{(n+1)}}{1 - (1 - \rho_2/\rho_1)\chi_\varepsilon(\Phi^{(n)})} \right] = \frac{\nabla \vec{U}^{(\sim)}}{\Delta t} \quad (8)$$

и, предполагая, что перенос количества движения осуществляется за счет градиента давления, определяем новое поле скоростей  $\vec{U}^{(n+1)}$  :

$$\frac{\vec{U}^{(n+1)} - \vec{U}^{(\sim)}}{\Delta t} = - \frac{\nabla P^{(n+1)}}{1 - (1 - \rho_2/\rho_1)\chi_\varepsilon(\Phi^{(n)})}. \quad (9)$$

После определения нового поля скоростей  $\vec{U}^{(n+1)}$  рассчитываем новое значение функции уровня. Однако неизбежное влияние «схемной вязкости» в процессе непосредственного решения уравнения переноса (4) приводит к искажению геометрии мембраны и погрешностям в расчете сил, действующих на ней. Применение схем повышенного порядка точности и процедур реинициализации позволяет несколько уменьшить погрешности до уровня, приемлемого в задачах моделирования движения капель вязкой жидкости в несмешивающейся среде [12, 13]. Но для достоверного вычисления сил, обусловленных изгибной жесткостью мембраны и ее нерастяжимостью, необходима дополнительная корректировка положения мембраны. Для этого используются специальные невесомые частицы «маркеры», находящиеся на мембране и переносимые полем скоростей:

$$\frac{\vec{X}_p^{(n+1)} - \vec{X}_p^{(n)}}{\Delta t} = \vec{U}^{(n+1)}(\vec{X}_p^{(n)}). \quad (10)$$

Теперь, наконец, можно определить локальный множитель Лагранжа  $\psi$  для выполнения условия нерастяжимости мембраны (3). Для этого достаточно просто предположить, что на поверхности мембраны действует дополнительная сила поверхностного натяжения, меняющаяся, вообще говоря, вдоль контура мембраны и противодействующая растяжению [3], и принять  $\psi^{(n+1)} = k_s \times (ds^{(n+1)} - ds^{(n)})$ , где  $ds$  — длина дуги контура, а множитель  $k_s$  определяет локальную силу поверхностного натяжения.

Для тестирования и верификации разработанного алгоритма используем результаты моделирования движения эритроцитов в несстесненном потоке [3-7], а также тот факт, что случай  $\psi \equiv 0$ ,  $Ch \gg 1$  (отвечающей отсутствию мембраны) соответствует динамике капли вязкой жидкости, рассмотренной, в частности, в работах [12, 13].

### 3. Вычислительный эксперимент

В литературе известно множество экспериментальных работ и примеров расчета течений вязкой жидкости в каналах с препятствиями. Интерес к таким работам вызван тем, что наличие какого-либо препятствия на обтекаемой твердой поверхности может значительно влиять на структуру потока с поперечным сдвигом, в частности, такие задачи возникают при моделировании тока крови в сосудах с геометрическими неоднородностями на стенках. Однако в известных работах кровь считалась однородной жидкостью, а вопросы динамики прохождения эритроцитов в сосудах микроциркуляторного русла с сужениями не рассматривались.

Так как гидродинамические параметры плазмы крови и внутриклеточной жидкости эритроцитов близки, а при малых числах Рейнольдса, характерных для течения крови в малых сосудах, лучше использовать так называемое «диффузное» характерное время  $\nu/L_0^2$ , тогда система (2) будет иметь вид

$$\begin{cases} \frac{\partial \vec{U}}{\partial t} + \text{Re}(\vec{U}, \nabla) \vec{U} + \Delta \vec{U} = \text{Re}[-\nabla P + \vec{F}], \\ (\nabla, \vec{U}) = 0, \end{cases} \quad (11)$$

и, очевидно, в этом случае основную роль будут играть силы, обусловленные нерастяжимостью мембраны.

При движении клетки в свободном канале, так как скорость потока в центральной зоне выше, чем у стенок, то в процессе движения клетка смещается к центру потока и приобретает характерную форму «туфельки» [3-7], зависящую, в частности, от отношения длины контура клетки к длине контура эквивалентного (равного по площади сечению клетки) круга и от изгибной жесткости мембраны (рис. 3).

Рассмотрим движение клетки в канале с сужением. Как известно, при больших числах Рейнольдса перед препятствием возникает зона «подпора», а за ним «тень» и циркуляционное «возвратное» течение. Для малых чисел Рейнольдса, характерных для течения крови, поток плавно обтекает препятствие, скорость течения начинает возрастать перед сужением и постепенно уменьшается ним, а возвратное течение практически отсутствует.

Рассмотрим вначале движение в таком канале клетки с легко растяжимой мембраной. В этом случае силы, действующие на мембране, незначительны, поэтому клетка под действием потока, скорость которого мала у стенок и увеличивается по мере удаления от них, естественно, начинает деформироваться, втягиваясь ускоряющимся потоком в зону сужения канала. В результате клетка приобретает своеобразную асимметричную форму, а ее мембрана значительно растягивается, вплоть до разрыва при низкой прочности мембраны (рис. 3).

Рассмотрим далее движение клетки с нерастяжимой мембраной рис. 4. В этом случае на поверхности раздела действуют силы, имеющие как нормальную, так и касательную составляющие, обеспечивающие нерастяжимость мембраны. Действие этих сил приводит к существенному изменению формы клетки в зоне сужения. После прохождения узкого места форма клетки снова изменяется, и она постепенно опять приобретает характерную форму «туфельки», отмеченную в частности в работе [7], зависящую от того, насколько отличается длина контура клетки от длины контура эквивалентной окружности (равной по площади) и величины скорости потока.

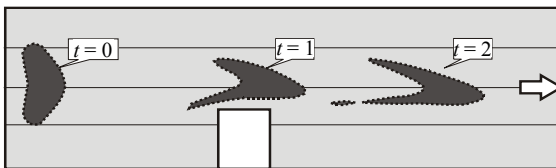


Рис. 3. Фазы движения клетки с легко растяжимой мембраной ( $\text{Re} = 1$ , в начальном состоянии длина контура клетки больше длины контура эквивалентной окружности в 1,2 раза

Заметим, что аналогичную форму «туфельки» может приобретать и несмешивающаяся капля вязкой жидкости в свободном потоке при подходящем выборе величины поверхностного натяжения. Такие задачи неоднократно рассматривались ранее [см., например, 12, 13]. В этом случае на поверхности раздела действуют



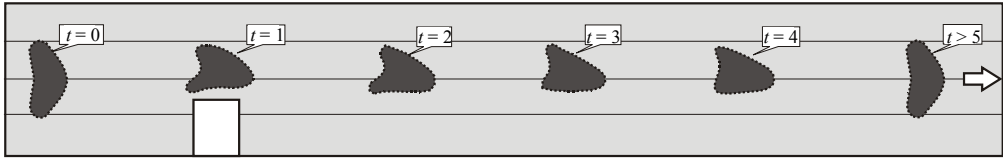


Рис. 4. Фазы движения клетки с нерастяжимой мембраной ( $Re = 1$ )

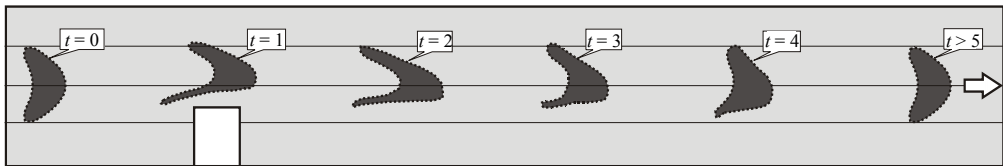


Рис. 5. Фазы движения несмешивающейся капли ( $Re = 1$ ,  $We = 30$ )

силы поверхностного натяжения, направленные по нормали и стремящиеся минимизировать поверхность капли и уменьшить ее деформацию в потоке. Так как силы поверхностного натяжения не исключают изменение длины контура капли под действием неравномерности потока, то контур капли будет несколько растягиваться при входе в узкую часть канала и потому ее форма будет качественно отличаться от формы клетки с нерастяжимой мембраной (рис. 5).

С другой стороны, при увеличении сил поверхностного натяжения форма капли в узкой части канала может оказаться близкой к форме клетки с нерастяжимой мембраной, но тогда, так как после прохождения сужения канала силы поверхностного натяжения «стремятся» придать капле форму, близкую к кругу, ее форма вдали от сужения будет качественно отличаться от формы клетки с нерастяжимой мембраной (рис. 6). В этом случае «релаксация» формы капли к равновесной происходит быстрее, чем при малом поверхностном натяжении.

Заметим, что приведенные выше описания моделируемых процессов носят чисто качественный, иллюстративный характер. Их реальное протекание, конечно, существенно зависит от диаметра сосуда, скорости и вязкости среды, параметров мембраны клетки и т. п.

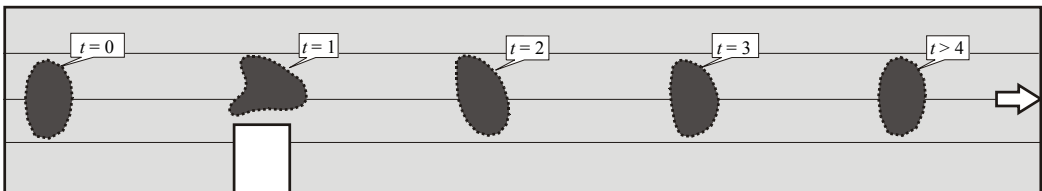


Рис.6. Фазы движения несмешивающейся капли ( $Re = 1$ ,  $We = 10$ )

**Выводы.** Предложен новый подход к численному моделированию динамики движения капли вязкой жидкости, ограниченной упругой, непроницаемой и нерастяжимой мембраной конечной толщины в потоке вязкой несжимаемой жидкости в канале с препятствием. Подход основан на представлении двухфазной системы однофазной средой с резко меняющимися характеристиками и применении «сквозного счета» с использованием схемы расщепления по физическим факторам и использовании конечных разностей на прямоугольной сетке с шахматным расположением узлов для дискретизации уравнений Навье-Стокса.

Для иллюстрации работы предложенного алгоритма выполнено численное моделирование движения биологической жидкости с одиночной везикулой, моделирующей эритроцит в плазме крови в сосуде микроциркуляторного русла с локальным сужением. Получены новые физические результаты, в частности, показано, что наличие нерастяжимой мембраны приводит к качественным изменениям в характере деформации капли при прохождении сужения.

### Литература

- [1] Механика кровообращения; пер. с англ. / *К. Капо, Т. Педли, Р. Шротер, У. Сид*. — Москва: Мир, 1981. — 624 с.
- [2] *Френкель Я. И.* Кинетическая теория жидкостей. — Ленинград: Наука, 1975. — 592 с.
- [3] Lateral migration of a two-dimensional vesicle in unbounded Poiseuille flow / *B. Kaoui, G. H. Ristow, I. Cantat et al.* // *Phys. Rev. E* 77. — 2008. — P. 021903.
- [4] *Cantat I., Kassner K., Misbah C.* Vesicles in haptotaxis with hydrodynamical dissipation // *Eur. Phys. J. E*. — 2003. — Vol. 10. — P. 175-189.
- [5] A boundary integral method for simulating the dynamics of inextensible vesicles suspended in a viscous fluid in 2D / *Shravan K. Veerapaneni, D. Gueyffier, D. Zorin, G. Biros* // *Journal of Computational Physics*. — 2009. — Vol. 228. — P. 2334-2353.
- [6] *Cantat I., Misbah C.* Lift Force and Dynamical Unbinding of Adhering Vesicles under Shear Flow // *Phys. Rev. Lett.* — 1999. — T. 83. — P. 880-883.
- [7] *Kaoui B., Biros G., Misbah C.* Why Do Red Blood Cells Have Asymmetric Shapes Even in a Symmetric Flow // *Phys. Rev. Lett.* — 2009. — Vol. 103. — P. 188101.
- [8] Моделирование процессов микрогемодиализации с учетом пульсовых колебаний давления / *Т. А. Хмель, А. В. Федоров, В. М. Фолин, В. А. Орлов* // *ПМТФ*. — 2011. — Т. 52, № 2. — С. 92-102.
- [9] *Демьянов А. Ю., Динариев О. Ю.* Применение метода функционала плотности для численного моделирования течений многокомпонентных многофазных смесей // *Прикладная механика и техническая физика*. — 2004. — Т. 45, № 5. — С. 68-77.
- [10] *Hirt C. W., Nichols B. D.* Volume of Fluid (VOF) method for the dynamics of free boundaries // *J. Comp. Physics*. — 1981. — Vol. 39, № 1. — P. 201-225.
- [11] *Issa R. I.* Solution of the implicitly discretized fluid flow equations by operator-splitting // *J. Comp. Physics*. — 1986. — Vol. 62, № 1. — P. 40-65.
- [12] *Майков И. Л., Директор Л. Б.* Численная модель динамики капли вязкой жидкости // *Вычислительные методы и программирование*. — 2009. — Т. 10. — С. 148-157.
- [13] *Тонков Л. Е.* Численное моделирование динамики капли вязкой жидкости методом функций уровня // *Вестник Удмуртского университета. Механика*. — 2010. — Вып. 3. — С. 134-140.
- [14] *Keller S. R., Skalak R.* Motion of a tank-treading ellipsoidal particle in a shear flow // *J. Fluid Mech.* — 1982. — Vol. 120. — P. 27-47.
- [15] A boundary integral method for simulating the dynamics of inextensible vesicles suspended in a viscous fluid in 2D / *Shravan K. Veerapaneni, D. Gueyffier, D. Zorin, G. Biros* // *Journal of Computational Physics*. — 2009. — Vol. 228. — P. 2334-2353.

- [16] Fluctuation analysis of tension-controlled undulation forces between giant vesicles and solid substrates / J. Rädler, T. J. Feder, H. H. Strey, E. Sackmann // Phys. rev. E. — 1995. — Vol. 51. — P. 4526-4536.
- [17] Osher S. J., Fedkiw R. P. Level Set methods and dynamic implicit surfaces. — Springer, 2003. — 273 p.
- [18] Brackbill J. U., Kothe D. B., Zemach C. A. A continuum method for modeling surface tension // Journal of Computational Physics. — 1992. — Vol. 100. — P. 335-354.
- [19] Canham P. B. The minimum energy of bending as a possible explanation of the biconcave shape of the human red blood cell // J. Theor. Biol. — 1970. — Vol. 26(1). — P. 61-81.
- [20] Вергелес С. С. Реологические свойства взвеси везикул // Письма в ЖЭТФ. — 2008. — Т. 87. — С. 597.
- [21] Lebedev V. V., Turitsyn K. S., Vergeles S. S. Dynamics of nearly spherical vesicles in an external flow // Phys. Rev. Lett. — 2007. — № 99. — P. 218101.
- [22] Turitsyn K. S., Vergeles S. S. Wrinkling of vesicles during transient dynamics in elongational flow // Phys. Rev. Lett. — 2008. — № 100. — P. 028103.
- [23] A boundary integral method for simulating the dynamics of inextensible vesicles suspended in a viscous fluid in 2D / Shravan K. Veerapanen, Gueyffier D., Zorin D., Biros G. // Journal of Computational Physics. — 2009. — №228. — P. 2334-2353.
- [24] Ou-Yang Zhong-can, Helfrich W. Instability and Deformation of a Spherical Vesicle by Pressure // Phys. Rev. Lett. — 1987. — Vol. 59, No 21. — P.2486-2488.
- [25] Волков К. Н. Реализация схемы расщепления на разнесенной сетке для расчета нестационарных течений вязкой несжимаемой жидкости // Вычислительные методы и программирование. — 2005. — Т.6. — С. 269-281.

## Simulations of viscous cell movement in a channel with narrowing in the presence of the inextensible membrane on the cell surface

Vladimir Fenchenko

*A numerical model of movement of a cell of viscous fluid bounded with an elastic, impermeable and non-stretchable membrane in a flow of viscous incompressible fluid. The model is based on an assumption that the membrane has a finite thickness and the change of the medium properties occurs inside the membrane, i.e. on the representation of a two-phase system with a single-phase medium with sharply varying characteristics and applying shock-capturing method using the scheme of splitting on physical factors. It is shown that the presence of non-stretchable membrane on the surface of the cell leads to qualitative changes of its deformation during the passage of the narrowing.*

## Моделювання руху краплі в'язкої рідини в каналі зі звуженням за наявності на поверхні краплі мембрани, що не розтягується

Володимир Фенченко

*Розроблено чисельну модель динаміки руху краплі в'язкої рідини, яка обмежена пружною, непроникною та такою, що не розтягується, мембраною у потоці в'язкої нестисливої рідини. Модель базується на припущенні, що мембрана має кінцеву товщину, а зміна властивостей середовища проходить усередині мембрани, тобто на поданні двофазної системи однофазним середовищем із характеристиками, які різко змінюються, та застосуванні «наскрізного рахунку» з використанням схеми розщеплення за фізичними факторами. Показано, що наявність мембрани, яка не розтягується, на поверхні краплі призводить до якісних змін у характері її деформації у разі проходження звуження.*

Представлено професором Є. Чаплею

Отримано 03.07.14